

· 病例报告 ·

Ellis-van Creveld 综合征源性膝外翻的矫形治疗 1 例



全文二维码

张彦 鲍琨 陈博昌

上海交通大学附属第六人民医院骨科, 上海 200233

通信作者: 鲍琨, Email: dr_baokun@163.com

Correction of genu valgum in Ellis-van Creveld Syndrome: one case report

Zhang Yan, Bao Kun, Chen Bochang

Department of Orthopedics, Affiliated Sixth Municipal People's Hospital, Shanghai Jiao Tong University, Shanghai 200233, China

Corresponding author: Bao Kun, Email: dr_baokun@163.com

【摘要】 埃利伟氏 (Ellis-van Creveld syndrome, EVC) 综合征即软骨外胚层发育不良, 是一种常染色体隐性遗传性疾病, 发病率约为 1/1 000 000, 以软骨及外胚层发育不良、先天性心脏病为主要特征。就骨科病症而言, 进行性膝外翻伴髌骨脱位对患儿下肢行走能力及外观的影响最大, 而膝外翻矫正术后复发率高是骨科医师面临的主要问题。本文介绍上海交通大学医学院附属第六人民医院收治的 1 例 EVC 源性膝外翻病例, 在回顾相关文献的基础上, 利用跨关节外固定支架逐渐矫正下肢轴线, 为后续彻底矫正关节内塌陷提供必要的条件与支撑, 再分侧分期逐步全面矫正畸形, 患儿术后随访 8 年余, 矫形效果维持良好。

【关键词】 膝外翻; Ilizarov 技术; 截骨矫形; 外科手术; 儿童

DOI: 10.3760/cma.j.cn101785-202203041-015

埃利伟氏 (Ellis-van Creveld syndrome, EVC) 综合征是一种常染色体隐性遗传病, 发病率约 1/1 000 000, 以软骨及外胚层发育不良、先天性心脏病为主要特征^[1]。就骨科病症而言, 进行性膝外翻伴髌骨脱位对患儿下肢行走能力及外观的影响最大, 而膝外翻矫正术后复发率高是骨科医师面临的主要问题^[2-5]。导致术后复发率高的主要原因是早期对畸形的认识不足, 主要通过胫骨或股骨干骺端截骨矫正畸形, 忽视了对关节内胫骨外踝塌陷的矫正^[3,5-7]。此外, 严重畸形患儿还存在广泛膝外侧软组织挛缩, 彻底矫正需要行全面的软组织松解和多处截骨矫形。一期手术创伤大, 术后易并发神经麻痹、伤口愈合不良^[3-4,6]。近年来有研究者采取分期治疗, 应用 Ilizarov 技术逐渐矫正胫骨畸形和松解软组织^[6,8-9]。2012 年 1 月上海交通大学附属第六人民医院小儿骨科收治 1 例 EVC 综合征源性严重膝外翻病例, 作者在借鉴前人治疗经验的基础上, 首先采用开放松解结合 Ilizarov 牵张技术全面彻底微创松解膝外侧软组织, 然后依据畸形的病理解剖, 合理、逐步实施全面矫正, 经长期随访疗效满意, 畸形无复发。本研究经上海交通大学附属第六人民医院伦理委员会审批通过(2013-45-11)。

患儿, 男, 11 岁。因双膝进行性畸形、肿痛、行走困难 5 年余就诊。3 岁时曾于外院行双侧股骨髁上截骨矫形和手

足多指/趾摘除术, 但膝部矫正效果不明显。家长自述患儿出生时无异常, 无家族性遗传性疾病史。体格检查: 身材矮小; 牙齿稀疏, 颗粒小, 呈锥形; 四肢较躯干短, 上肢前臂、下肢小腿相对偏短, 手指末节、足趾短粗; 双侧手掌尺侧和左足腓侧有摘除多指/趾留下的手术疤痕, 左足有不完全并趾畸形; 指/趾甲发育不良; 双侧膝外翻达 40°, 伴髌骨脱位, 小腿轻度外旋(图 1), 能勉强扶拐行走。肌力及肌张力未见明显异常, 生理反射存在, 病理反射未引出。

X 线片显示双侧膝外翻约 40°, 股骨外踝发育不良, 胫骨外侧平台塌陷, 髌骨外侧脱位, 腓骨偏短。于双下肢站立位全长 X 线片上测量机械轴股骨远端外侧角(mechanical lateral distal femoral angle, mLDFA): 左侧 83°, 右侧 79°; 胫骨近端内侧角(medial proximal tibial angle, MPTA): 左侧 122°, 右侧 132°(表 1, 图 2); 股骨-胫骨角(femur-tibia angle, FTA): 左侧 141°, 右侧 127°。基因检测提示 EVC 基因无突变, EVC 2 基因存在复合杂合突变, 包括外显子 14 发生新的杂合无义突变 p. W828X(c. 2484G > A) 和外显子 10 发生无义突变 p. R399X(c. 1195C > T)^[10]。综合以上, 患儿被确诊为 EVC 综合征。

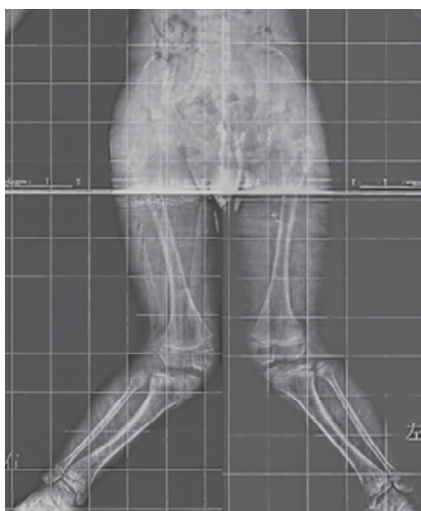
手术首先矫正左下肢畸形, 分三期进行。①一期松解腓总神经, Z 字延长髂胫束, 松解髌骨外侧支持带, 腓骨中段截



注 A:正面观; B:侧面观。典型特征:身材矮小,前臂和小腿偏短小,双膝严重外翻伴髌骨脱位

图 1 埃利伟氏综合征性膝外翻患儿外观

Fig. 1 Clinical picture of an eleven-year-old boy with severe genu valgum derived from EVC syndrome



注 提示双膝严重外翻,髌骨脱位,胫骨外侧髁发育不良塌陷

图 2 埃利伟氏综合征性膝外翻患儿双下肢全长站立正位 X 线片

Fig. 2 The full-length AP view standing radiograph of the lower extremities

骨,安装跨膝关节环形外固定支架,将一对铰链设置在矢状面股骨内侧髁上的等长点上,使该点至股骨内髁关节面内外缘距离相等(图 3)。术后通过调节连接膝关节上下环之间牵伸杆的长度,使支架带动小腿逐渐内收至股骨-胫骨角达矫枉过正的 180°。每天调整牵伸杆 3 次,间隔时间均等,每次使膝关节外侧间隙撑开约 0.3 mm。此时,原先向外侧脱位的髌骨也趋于复位。该过程为期约 45 d。②二期行胫骨外侧髁骨骺内截骨、抬高自体髂骨植骨。将外固定支架的铰链转移到冠状面上膝关节伸屈轴上。前 6 周将支架铰链锁

定使之起固定作用,减轻关节内压力,利于软组织和截骨愈合;之后放开锁钮以便膝关节主动、被动伸屈锻炼;环形外固定支架于植骨术后 4 个月植骨愈合坚固后拆除。此时,膝关节活动范围约 60°,康复理疗 75 d 以改善关节活动度;8 个月后按上述步骤矫正右下肢。③于二期手术后 1 年 4 个月行三期手术,对股骨远端和胫骨近端的遗留成角畸形予截骨矫正、钢板内固定。同时行同侧髌骨内侧支持带紧缩缝合加髌韧带外侧部分止点内移术(Green 法加 Roux-Goldthwait 法),术后长腿管型石膏固定 6 周后拆除石膏,行恢复肌力和关节活动度的锻炼,75 d 后逐步下地扶拐负重行走,此治疗期约 8 个月。

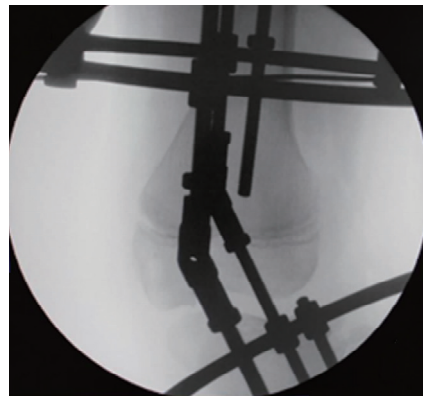
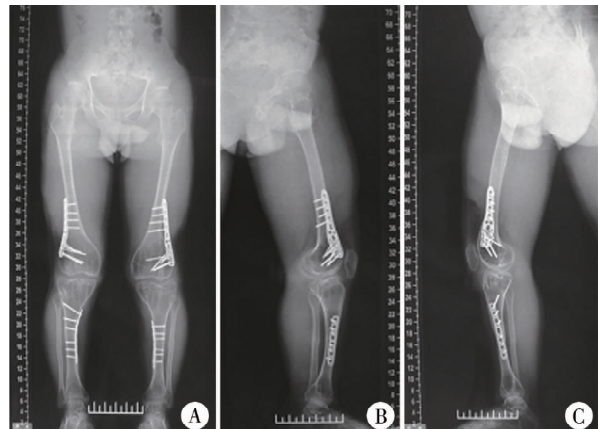


图 3 埃利伟氏综合征性膝外翻患儿术中 X 线透视照片

Fig. 3 The intra-operative image depicts how the circular frames were installed on the first stage of treatment

患儿顺利完成全程治疗,总时长两年余,未发生伤口裂开、钉道感染、腓总神经麻痹及再骨折等。随访 X 线片显示双侧胫骨外侧平台基本与内侧平齐;MPTA:左侧 89°,右侧 88°;mLDFA:左侧 87°,右侧 87°。双下肢轴线经过膝关节中心(图 4)。随访 8 年膝外翻无复发。双膝关节伸屈范围在屈曲 10° 至屈曲 100°(图 5,图 6)。双侧髌骨稳定。双下肢肌力 V 级。患儿能够独立上下楼梯,独立连续行走 1 km 而

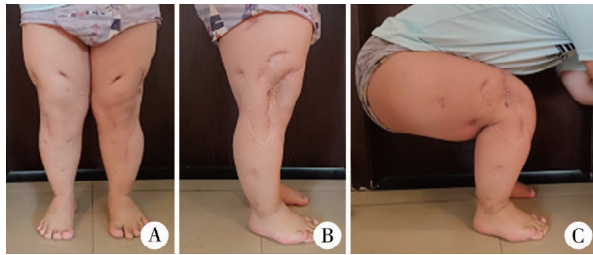


注 A:站立位下肢全长正位 X 线片,双下肢机械轴线矫正,膝关节面水平,胫骨外侧髁恢复正常;B、C:分别为站立位左、右下肢全长侧位 X 线片,双膝关节存在 10°~15° 伸直受限,髌骨低位;双侧胫骨残留轻度前弓畸形

图 4 埃利伟氏综合征性膝外翻患儿矫正股骨远端和

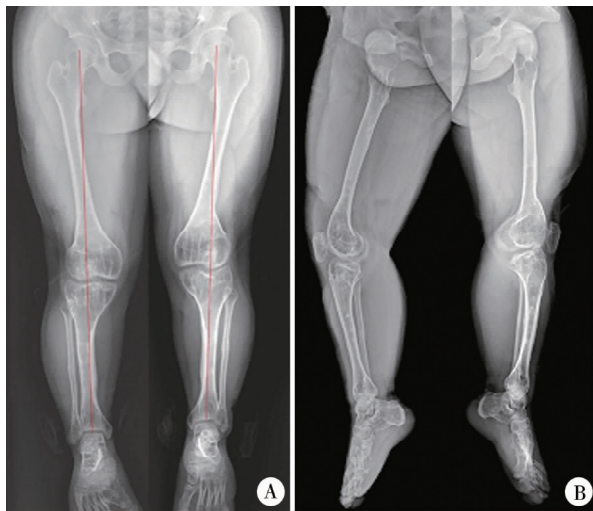
胫骨上中段成角畸形的照片

Fig. 4 Correction of angulation deformity around the knee at the third stage



注 A:正面观,因大腿粗壮使双小腿轻度分开,下肢轴线维持正常; B:侧面观,膝关节伸直度有所改善; C:关节屈曲仍受限
图 5 埃利伟氏综合征性膝外翻患儿术后 8 年功能和外观情况

Fig. 5 The follow-up clinical pictures taken over 8 years after the correction.



注 双下肢轴线维持正常,膝关节间隙、胫骨外侧髁高度得以维持。侧位片上髌骨在位,仍处于低位
图 6 埃利伟氏综合征性膝外翻患儿术后 8 年双下肢正侧位 X 线片

Fig. 6 The AP and lateral views of the full-length films taken over 8 years after the staged correction

无不适。双膝关节术后评分(knee society score, KSS)为 78 分,等级为良;功能评分为 80 分,等级为良。

讨论 自 Milgram 等^[2]于 1975 年首次报道 1 例 EVC 源性膝外翻的矫治至今,该病相关的文献较少,病例数很少。Weintraub 等^[3]于 2014 年发表的一篇文献总结了他们在近 40 年间诊治的 13 例(23 膝)患儿诊疗经验。早期采用胫腓骨近端截骨(或胫骨高位截骨),也有行股骨髁上截骨恢复股骨-胫骨角,这些方法的常见并发症有矫正不足、畸形复发、腓总神经麻痹、伤口裂开、关节僵硬、关节不稳、截骨不愈合等^[2-6,11]。其中畸形复发是一个普遍问题,这与 Fukuda 等^[7]和 Jöckel 等^[11]的报道一致。2007 年, Morsy 等^[9]应用 Paley 等^[12-13]阐述的矫形外科原则分析畸形构成,及时矫正较小的股骨畸形,再采用 Ilizarov 技术逐渐矫正较大的胫骨畸形。

目前,人们对 EVC 源性膝外翻的病理解剖有了更深入的认识,该病不仅源于胫骨近侧干骺端、股骨远端干骺端的外翻成角畸形,很大程度上还源于关节内胫骨外侧髁的发育不良及其前外侧的凹陷^[3,5-8,12]。之前有研究者认为只要恢复下肢轴线,胫骨外髁发育不良将伴随生长自动恢复的观点

是不可靠的^[7]。伴关节内凹陷的胫骨外髁发育不良必须通过截骨抬高,才能彻底矫正膝外翻和防止复发^[4,6,9,13-14]。但要充分矫正膝外翻,首先需要松解膝外侧广泛的软组织挛缩,包括髂胫束、髌骨外侧支持带、外侧副韧带、外侧关节囊、股二头肌腱、腓肠肌等^[2-3,6-8]。一期手术步骤多,创伤大。

2008 年 Eylon 等^[6]提出分期治疗。一期行软组织松解和胫骨外髁截骨抬高;二期行胫骨高位截骨,全面矫正畸形成因。我们采取的策略是先行外侧软组织充分松解,矫正过正下肢轴线;为了避免影响骺板,采取骨骺内截骨抬高胫骨外髁矫正其塌陷;待胫骨外髁截骨植骨愈合,恢复负重行走后,再摄片评估股骨远端和胫骨近端外翻成角畸形;最后依据上述角度行截骨矫正彻底恢复下肢轴线。同期行软组织松解和胫骨外髁截骨抬高矫正创伤大,发生腓总神经损伤、伤口裂开及关节不稳的风险增大^[4,6,9]。因此,本例把软组织松解与胫骨外侧髁截骨抬高分两期进行,且对髂胫束、外侧副韧带等坚韧结构行切开延长,松解腓总神经,对其余挛缩软组织采用外固定支架逐渐牵张再生的方法,既保证了松解的效果,又避免了广泛软组织松解造成的创伤与关节不稳定。该方案与 Kamada 等^[8]的方案不谋而合,只是他们的病例膝外翻程度较本例轻(术前 FTA 左侧 162°,右侧 150°),省略了胫骨近端和股骨远端截骨矫形。

另外,关于胫骨近端骺板内外侧生长不平衡是否会导致术后畸形复发,大多数作者认为骺板外侧部分生长潜力不足,故建议行胫骨外侧髁截骨抬高矫正^[7]。为避免进一步削弱其生长潜力,本例胫骨外侧髁截骨抬高采取骺内截骨,目的在于保护骺板外侧部分的生长潜力^[13]。本例随访 8 年未见畸形复发。Kamada 等^[8]对 1 例 10 岁女童行经骺板的胫骨外侧髁截骨抬高,随访 4 年无膝外翻复发。因此,小年龄患儿是否需要强调骺内截骨有待进一步研究。

本例双侧膝关节屈曲活动度存在轻度受限(双侧均为 100°)。我们采取骨骺内单平面截骨抬高植骨矫正胫骨外侧髁塌陷。由于膝关节内胫骨外侧平台塌陷伴前方凹陷,仅通过单平面截骨难以完全恢复平整状态,为此 Kamada 等^[8]设计了三平面截骨,试图将关节面恢复得更平整,随访该病例最终屈膝活动度分别为左侧 120°、右侧 100°^[8]。Feldman 等^[14]报道采用关节内截骨(股骨外髁截骨下移,同时部分行胫骨外侧髁截骨抬高)治疗骨发育不良性膝外翻的术后关节活动度平均为 108°(90°~120°)。本例后期随访发现尚有双膝轻度伸膝受限(约 10°),双侧胫骨平台关节面后倾偏大(左侧 30°,右侧 20°),在矫正胫骨冠状面成角时没能一并彻底矫正,双侧髌骨低位(图 7)。

为使髌骨复位稳定,文献报道多采用一期外侧支持带松解、内侧支持带紧缩,对未成年患者会加用 Dewar-Galeazzi 方法,或 Green 法和 Roux-Goldthwait 法处理;对成年患者则加用 Elmslie 方法处理^[3-4,7-8,11]。本例将髌骨脱位治疗穿插在膝外翻矫正的一期和三期手术中,髌骨复位后较为稳定,未再发生脱位。

总之,本例矫正分三期进行:一期为软组织切开松解结

合 Ilizarov 技术;二期矫正胫骨外侧髁塌陷发育不良;三期矫正股骨远端和胫骨近端成角畸形。因累及病变双下肢,遂采取分侧逐一矫正,最后取出全部内植物,共行 7 次手术,治疗周期达 2 年余。我们体会该方案减轻了每次手术的创伤,畸形矫正全面彻底,降低了并发症的发生风险,有利于术后功能康复。但由于 EVC 源性膝外翻存在关节内塌陷成因,甚至股骨外髁缺陷,因此,关节面的不适当配以及髌骨复位后处于低位,可能会在一定程度上限制膝关节活动度,需要进一步研究改进。

利益冲突 所有作者声明不存在利益冲突

作者贡献声明 文献检索为张彦、鲍琨;论文调查设计鲍琨、陈博昌;数据收集与分析为张彦、鲍琨;论文结果撰写为张彦;论文讨论分析为鲍琨、陈博昌

参 考 文 献

- [1] Baujat G, Le Merrer M. Ellis-van Creveld syndrome [J]. Orphanet J Rare Dis, 2007, 2(1):27. DOI:10.1186/1750-1172-2-27.
- [2] Milgram JW, Bailey JA 2nd. Orthopaedic aspects of the Ellis-van Creveld syndrome [J]. Bull Hosp Joint Dis, 1975, 36(1):11-19.
- [3] Weiner DS, Tank JC, Jonah D, et al. An operative approach to address severe genu valgum deformity in the Ellis-van Creveld syndrome [J]. J Child Orthop, 2014, 8(1):61-69. DOI:10.1007/s11832-014-0552-9.
- [4] Shibata T, Kawabata H, Yasui N, et al. Correction of knee deformity in patients with Ellis-van Creveld syndrome [J]. J Pediatr Orthop B, 1999, 8(4):282-284.
- [5] Pinelli G, Cottafava F, Senes FM, et al. Ellis-van Creveld syndrome: description of four cases. Orthopaedic aspects [J]. Ital J Orthop Traumatol, 1990, 16(1):113-121.
- [6] Eylon S, Simanovsky N, Porat S. The pathology of valgus knee in Ellis-van-Creveld syndrome, and its surgical treatment. Comparison to the equivalent pathology in Blount's disease [J]. Orthop Procs, 2008, 90-B (SUPP_III) : 512. DOI: 10.1302/0301-620X.90BSUPP_III.0900512.
- [7] Fukuda A, Kato K, Hasegawa M, et al. Recurrent knee valgus de-
- formity in Ellis-van Creveld syndrome [J]. J Pediatr Orthop B, 2012, 21 (4) : 352 - 355. DOI: 10.1097/BPB.0b013e328345d929.
- [8] Kamada T, Mashima N, Imai H, et al. Successful two-step correction for severe genu valgum in Ellis-van Creveld syndrome: a case report [J]. J Orthop Case Rep, 2017, 7 (4) : 13 - 16. DOI: 10.13107/jocr.2250-0685.828.
- [9] Morsy A, Tsuchiya H, Matsubara H, et al. Ilizarov deformity correction of the lower limbs in Ellis-van Creveld syndrome [J]. J Orthop Sci, 2007, 12 (5) : 505-509. DOI: 10.1007/s00776-007-1157-7.
- [10] Zhang Z, Bao K, He JW, et al. Identification of one novel mutation in the EVC2 gene in a Chinese family with Ellis-van Creveld syndrome [J]. Gene, 2012, 511 (2) : 380 - 382. DOI: 10.1016/j.gene.2012.09.071.
- [11] Jöckel JA, Reichel H, Nelitz M. Correction of knee deformity in patients with Ellis-van Creveld syndrome: a case report and review of the literature [J]. Knee, 2012, 19 (3) : 218 - 222. DOI: 10.1016/j.knee.2011.03.003.
- [12] Paley D, Tetsworth K. Mechanical axis deviation of the lower limbs. Preoperative planning of unicompartmental angular deformities of the tibia or femur [J]. Clin Orthop Relat Res, 1992, 280:48-64.
- [13] Paley D. Knee joint line deformity sources of malalignment [M]// Paley D. Principles of Deformity Correction. Berlin: Springer, 2002:465-478.
- [14] Feldman DS, Goldstein RY, Kurland AM, et al. Intra-articular osteotomy for genu valgum in the knee with a lateral compartment deficiency [J]. J Bone Joint Surg Am, 2016, 98 (2) : 100 - 107. DOI: 10.2106/JBJS.O.00308.

(收稿日期:2022-03-12)

本文引用格式:张彦,鲍琨,陈博昌. Ellis-van Creveld 综合征源性膝外翻的矫形治疗 1 例 [J]. J Clin Ped Sur, 2024, 23 (7) : 685 - 688. DOI: 10.3760/cma.j.cn101785-202203041-015.

Citing this article as: Zhang Y, Bao K, Chen BC. Correction of genu valgum in Ellis-van Creveld Syndrome: one case report [J]. J Clin Ped Sur, 2024, 23 (7) : 685 - 688. DOI: 10.3760/cma.j.cn101785-202203041-015.